

Entrée et sortie: Système Offset Reflective ORS18a pour la teinte CIELAB relative $h_{ab,a,rel} = h_{ab}/360 = 86/360 = 0,24$

Données de couleurs périphériques (d)

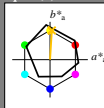
ou élémentaires (e):

HIC^*_{-}

code de teinte pour les couleurs de cette page:

$H^*_{-} = R75Y_{-}$

triangle de luminosité T^*



ORS18a; données CIELAB (a) adaptées					
nom	$L^*=L^*_{-} a^*_{-} a^*_{+}$	b^*_{-}	$C^*_{ab,a}$	$h^*_{ab,a}$	
R ₋ ,Ma	47.9	65.3	50.5	82.6	37
Y ₋ ,Ma	90.3	-10.2	91.7	92.3	96
G ₋ ,Ma	50.9	-62.8	34.9	71.9	150
C ₋ ,Ma	58.6	-30.3	-45.0	54.2	236
B ₋ ,Ma	25.7	31.0	-44.4	54.2	305
M ₋ ,Ma	48.1	75.2	-8.3	75.7	353
N ₋ ,Ma	18.0	0.0	0.0	0.0	0
W ₋ ,Ma	95.4	0.0	0.0	0.0	0
R ₋ ,CIE	39.9	58.7	27.9	65.0	25
Y ₋ ,CIE	81.2	-2.8	71.5	71.6	92
G ₋ ,CIE	52.2	-42.4	13.6	44.5	162
B ₋ ,CIE	30.5	1.4	-46.4	46.4	271

Les données de couleur maximale (Ma):

LabCh₋,Ma: 80 4 77 77 86

HIC^*_{-} ,Ma: R75Y₋ 100 100 100

rgbic₋,Ma:

1.0 0.76 0.0 1.0 1.0

triangle de luminosité T^*

%Gamme

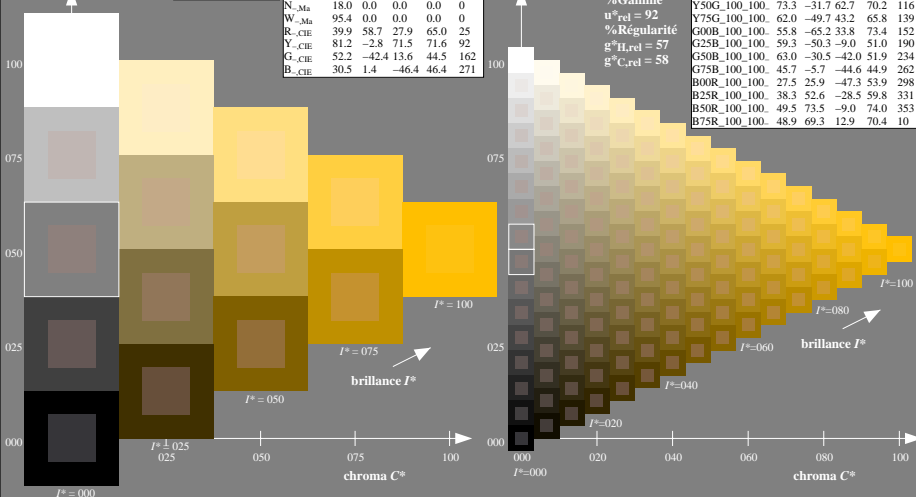
$u^*_{rel} = 92$

%Régularité

$g^*_{H,rel} = 57$

$g^*_{C,rel} = 58$

ORS20a; données CIELAB (a) adaptées					
H^*_{-}	$L^*=L^*_{-} a^*_{-} a^*_{+}$	b^*_{-}	$C^*_{ab,a}$	$h^*_{ab,a}$	
R00Y ₋ 100 100	48.4	66.1	40.2	77.3	31
R25Y ₋ 100 100	56.8	48.0	50.5	69.6	46
R50Y ₋ 100 100	68.6	25.0	63.9	68.6	68
R75Y ₋ 100 100	80.6	4.8	77.2	77.3	86
Y00G ₋ 100 100	90.2	-9.6	88.2	88.7	96
Y25G ₋ 100 100	83.2	-18.4	79.9	81.9	102
Y50G ₋ 100 100	73.3	-31.7	62.7	70.2	116
Y75G ₋ 100 100	62.0	-49.7	43.2	65.8	139
G00B ₋ 100 100	55.8	-65.2	33.8	73.4	152
G25B ₋ 100 100	59.3	-50.3	-9.0	51.0	190
G50B ₋ 100 100	63.0	-30.5	-42.0	51.9	234
G75B ₋ 100 100	45.7	-5.7	-44.6	44.9	262
B00R ₋ 100 100	27.5	25.9	-47.3	53.9	298
B25R ₋ 100 100	38.3	52.6	-28.5	59.8	331
B50R ₋ 100 100	49.5	73.5	-9.0	74.0	353
B75R ₋ 100 100	48.9	69.3	12.9	70.4	10



3-003030-L0 QF220-7N

graphique TUB-QF22; code de teinte: $H^*_{-} = R75Y_{-}$

graphique conforme à DIN 33872, 3D=0, de=0, sRGB

entrée : rgb/cmyk -> rgb/cmyk

sortie : aucun changement